

Systèmes dynamiques symboliques exceptionnels engendrés par des algorithmes de fractions continues multidimensionnelles

Mélodie Andrieu

Université Bar-Ilan

I3S, Sophia Antipolis, juin 2022.

I - Motivations et questions

→ à la recherche d'un **bon algorithme** de FC multiD

II - Résultats

→ une sous-classe de **systèmes symboliques étranges**

III - Définitions formelles

IV - Un outil général derrière ces résultats

→ exploration patiente et ordonnée d'un **graphe infini**

I. Motivations et questions

Les fractions continues, qu'est-ce que c'est ?

"Fraction continue" = façon de représenter les réels par des suites infinies d'entiers.

→ Contrairement à l'écriture en base 2, 10, n, ..., les entiers ne sont *pas bornés* a priori.

Exemples.

	écriture décimale	développement en FC
$\frac{19}{12}$	1.5833333...	[1; 1, 1, 2, 2]
$\sqrt{13}$	3.605551275...	[3; 1, 1, 1, 6, 1, 1, 1, 1, 6, 1, 1, 1, 1, 1, 6...]
π	3.1415926535...	[3; 5, 15, 1, 292, 1, ...]
φ	1.618033988...	[1; 1, 1, 1, 1...]

Comment retrouver x à partir de son dvp en FC ?

Soit $x \in \mathbb{R}_{>0}$

- écriture décimale :

$$\dots 0d_{-m} \dots d_{-1}d_0.d_1d_2d_3\dots \quad \quad d_i \in \{0, \dots, 9\} \quad \rightsquigarrow \quad x = \sum_{j=-m}^{+\infty} d_j 10^{-j}$$

- **développement en FC :**

$$[a_0; a_1, a_2, a_3, \dots] \quad a_i \in \mathbb{N} \quad \rightsquigarrow \quad x = a_0 + \frac{1}{a_1 + \frac{1}{a_2 + \frac{1}{a_3 + \dots}}}$$

Exemple :

$$\frac{19}{12} = 1 + \frac{1}{1 + \frac{1}{1 + \frac{1}{2 + \frac{1}{2}}}}$$

Comment calculer le dvp en FC d'un réel ?

Le dvp en FC est fondé sur l'**algorithme d'Euclide** [soustractif].

$$F : \begin{array}{ccc} \mathbb{N} \times \mathbb{N} & \longrightarrow & \mathbb{N} \times \mathbb{N} \\ (y, z) & \longmapsto & \begin{cases} (y - z, z) & \text{si } y \geq z \\ (y, z - y) & \text{sinon} \end{cases} \end{array} \quad \begin{array}{l} \text{(cas 1)} \\ \text{(cas 2)} \end{array}$$

Exemple :

$$(19, 12) \xrightarrow{1} (7, 12) \xrightarrow{2} (7, 5) \xrightarrow{1} (2, 5) \xrightarrow{2} (2, 3) \xrightarrow{2} (2, 1) \xrightarrow{1} (1, 1) \xrightarrow{1} (0, 1) \xrightarrow{2} \text{pgcd}(19, 12)$$

Def : La **trajectoire symbolique** de $(19, 12)$ pour l'itération de F [relativement à sa définition par morceau] est : **1212211222222...**

Comment calculer le dvp en FC d'un réel ? [suite]

$$F : \begin{array}{ccc} (\mathbb{R}_{\geq 0})^2 & \longrightarrow & (\mathbb{R}_{\geq 0})^2 \\ (y, z) & \longmapsto & \begin{cases} (y - z, z) & \text{si } y \geq z \\ (y, z - y) & \text{sinon} \end{cases} \end{array} \quad \begin{array}{l} \text{(cas 1)} \\ \text{(cas 2)} \end{array}$$

Observation. Soit $\lambda \in \mathbb{R}_{>0}$. Les trajectoires symboliques de (y, z) et $\lambda(y, z)$ sont identiques.

Conséquence 1. traj. symb(y, z) = traj. symb($\frac{y}{z}, 1$). On peut considérer que F est définie sur le **cône projectif** $(\mathbb{R}_{>0})^2/\mathbb{R}_{>0}$.

Conséquence 2. $\frac{y}{z} \in \mathbb{Q} \iff$ traj. symb(y, z) est **ultimement constante**.

Comment calculer le dvp en FC d'un réel ? [suite et fin]

def : Soit $x \in \mathbb{R}_{\geq 0}$. Le "développement en fraction continue" de x est $[a_0; a_1, a_2, a_3, \dots]$, où les $a_i \in \mathbb{N}$ sont déterminés de façon unique par :

- (i) $a_1, a_2, a_3, \dots \neq 0$,
- (ii) $1^{a_0} 2^{a_1} 1^{a_2} 2^{a_3} \dots$ est la **trajectoire symbolique** de $(x, 1)$ sous F .

Convention : $[a_0; a_1, a_2, \dots, a_n, \infty] = [a_0; a_1, a_2, \dots, a_n]$.

Ex : Si $x = \frac{19}{12}$ alors

$$\text{traj. symb}\left(\frac{19}{12}, 1\right) = \text{traj. symb}(19, 12) = 1\textcolor{orange}{2}1\textcolor{green}{2}211\textcolor{orange}{2}222222\dots = 1^{\textcolor{red}{1}}2^{\textcolor{orange}{1}}1^{\textcolor{red}{1}}2^{\textcolor{orange}{2}}1^{\textcolor{red}{2}}2^{\textcolor{orange}{\infty}}.$$

\rightsquigarrow donc le dvp en FC de $\frac{19}{12}$ est $[1; 1, 1, 1, 2, 2]$.

Intérêt des fractions continues

Le développement en fraction continues :

- caractérise les rationnels : $x \in \mathbb{Q} \iff$ dvp en FC fini

- caractérise les réels quadratiques :

x quadratique \iff dvp en FC ultimement périodique

- Fournit les meilleures approximations diophantiennes :

Soit $x = [a_0; a_1, a_2, \dots] \in \mathbb{R}_{\geq 0}$. Notons $\frac{p_n}{q_n} := [a_0; a_1, \dots, a_n]$. Alors :

$$(i) \left| x - \frac{p_n}{q_n} \right| < \frac{1}{q_n^2}, \quad \rightsquigarrow \text{"c'est une bonne approximation"}$$

$$(ii) \text{ si } \frac{p}{q} \text{ est tel que } |qx - p| < |q_n x - p_n| \text{ alors } q \geq q_n.$$

\rightsquigarrow "on ne trouvera pas mieux sans augmenter q "

Des fractions continues en dimension supérieure ?

Depuis Jacobi, on cherche à **généraliser** les fractions continues **en dimension supérieure**.

But :

- caractériser les réels **cubiques** (problème d'Hermite);
- détecter **les dépendances rationnelles**;
- fournir de bonnes approximations diophantiennes **simultanées**.

Comment ? en proposant un "algorithme d'Euclide" sur les triplets

$$F_{3D} : \begin{array}{ccc} (\mathbb{R}_{\geq 0})^3 & \rightarrow & (\mathbb{R}_{\geq 0})^3 \\ (x, y, z) & \mapsto & \text{???} \end{array}$$

...Mais quelle opération doit être exécutée ??

~~~ **multiplicité** des algorithmes de FC multiD.

## ...Une question réactivée par la dynamique symbolique

### Définitions générales

- (i) Un **alphabet** est un ensemble fini  $\mathcal{A}$ .  
(ii) Un **mot de longueur  $n$**  est un élément de  $\mathcal{A}^n$ .

On note  $\mathcal{A}^* := \bigcup_{n \in \mathbb{N}} \mathcal{A}^n$

- (iii) Un **mot infini** est un élément de  $\mathcal{A}^{\mathbb{N}}$ .

ex :  $\mathcal{A} = \{1, 2\}$

ex :  $u = 122$

On munit  $\mathcal{A}^{\mathbb{N}}$  de la **topologie produit**.

- (iv) Une **substitution** est un élément de  $\text{End}((\mathcal{A}^*, \cdot))$ .

Ex :

$$\sigma : \begin{array}{l} 1 \mapsto 1 \\ 2 \mapsto 12 \end{array} \quad \sigma(122) = 1 \cdot 12 \cdot 12 = 11212.$$

## Une classe de mots infinis associée à la fraction continue usuelle

$$\text{À } F : (y, z) \mapsto \begin{cases} (y - z, z) & \text{si } y \geq z \quad \text{cas 1} \\ (y, z - y) & \text{sinon} \quad \text{cas 2} \end{cases} \text{ on associe 2 substitutions}$$

$$\begin{aligned} \tau_1 &: \begin{cases} 1 \mapsto 1 \\ 2 \mapsto 12 \\ 1 \mapsto 21 \\ 2 \mapsto 2 \end{cases} \\ \tau_2 &: \begin{cases} 1 \mapsto 1 \\ 2 \mapsto 12 \\ 1 \mapsto 21 \\ 2 \mapsto 2 \end{cases} \end{aligned}$$

**prop :** Soit  $(s_n) \in \{\tau_1, \tau_2\}^{\mathbb{N}}$  contenant une infinité de chacune des deux substitutions. Soit  $a \in \{1, 2\}$ . La suite  $(s_0 \circ s_1 \circ \dots \circ s_n(a))_{n \in \mathbb{N}}$  converge vers un mot infini  $w \in \{1, 2\}^{\mathbb{N}}$  qui ne dépend pas de  $a$ .

**def :** - Ces mots sont les "mots sturmiens [standards]".  
 -  $(s_n)$  est appelée **suite directrice**.

**Ex :**

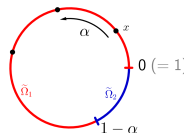
$$w_{fib} = \lim_{n \rightarrow +\infty} \tau_1 \circ \tau_2 \circ \tau_1 \circ \tau_2 \circ \tau_1 \circ \tau_2 \dots (1) = \underbrace{121121211211212112\dots}_{\text{"mot de Fibonacci"}}$$

## Mots sturmiens

Les mots sturmiens jouissent de nombreuses caractérisations **combinatoires**, **géométriques** et **dynamiques**.

- **[complexité]**  $w$  est sturmienssi pour tout  $n$ ,  $w$  admet exactement  $n + 1$  facteurs de longueur  $n$  [facteur = sous-mot lu avec des lettres consécutives].
- **[équilibre]**  $w$  est sturmienssi  $w$  est apériodique et tout couple de facteurs de même longueur admet, à un près, le même nombre de 1 (et donc à un près aussi, le même nombre de 2).
- **[codage de rotation]** Un mot est sturmienssi il encode la trajectoire d'un point sous l'action d'une rotation irrationnelle, par rapport à une partition bien choisie.

etc.



## Classes de mots infinis associées aux algo de FC multiD (prototype)

**Idée :** Étant donné un algorithme de FC en dimension  $d$  noté  $F_d$ ,

- proposer  $k$  substitutions sur l'alphabet  $\{1, \dots, d\}$  associées à la définition en  $k$  morceaux de  $F_d$ .
- est-ce que les mots

$$w = ? \lim_{n \rightarrow +\infty} s_0 \circ \dots \circ s_n(a)$$

où  $a \in \{1, \dots, d\}$  et  $(s_n)_{n \in \mathbb{N}}$  est une suite à valeur dans ces  $k$  substitutions existent ? Sont-ils intéressants ?

## Une caractérisation combinatoire

[~1940]

**def :** Facteur de longueur  $n$  de  $w$  = sous-mot de  $w$  formé par  $n$  lettres *consécutives*.

- Ex :**
- **11** est facteur de 212**11**122212112...
  - **art** est facteur de montm**art**re

### Propriété d'équilibre :

Les mots sturmiens sont exactement les mots binaires apériodiques dans lesquels toute paire de facteurs de même longueur contient, à une unité près, le même nombre de 1.

#### Ex :

Un mot commençant par  $w = 112111211211121112112...$  peut-être sturmien.

Un mot commençant par  $w' = \underline{122}1222\underline{11}...$  ne l'est pas.

## Conséquences de l'équilibre

Soit  $w$  un mot sturmien.

1. La proportion de 1 parmi les  $N$  premières lettres de  $w$  tend vers une limite  $f_1$ .
2. La **trajectoire symbolique** de  $(f_1, f_2)$  sous l'itération de  $F$  est la **suite directrice** de  $w$ .

*Corollaire* :  $f_1/f_2 \in \mathbb{R} \setminus \mathbb{Q}$

**Ex** : Le vecteur fréquence des lettres du mot de Fibonacci est : ...

3. **Mieux** : il existe  $C$  tq pour tout  $N$ , le nombre de 1 parmi les  $N$  premières lettres de  $w$  appartient à  $[Nf_1 - C; Nf_1 + C]$ .

## Interprétation géométrique

La "ligne brisée" constituée des points  $P_N := \sum_{n=0}^N e_{w[n]}$ , où  $(e_1, e_2)$  est la base canonique de  $\mathbb{R}^2$ , reste à **distance bornée** de sa **direction moyenne**.

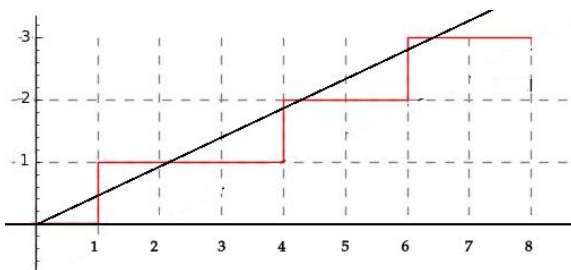


Figure: La ligne brisée de 12111211211...

→ Les mots sturmiens approximent les droites de pentes irrationnelles.

## [dim 2] L'algorithme d'Arnoux-Rauzy

[~1991]

$$F_{AR} : \begin{array}{ccc} \dots & \rightarrow & \dots \\ (x, y, z) & \mapsto & \begin{array}{l} (x - y - z, y, z) \\ (x, y - x - z, z) \\ (x, y, z - x - y) \end{array} \end{array} \begin{array}{l} \text{si } x > y + z, \\ \text{si } y > x + z, \\ \text{si } z > x + y. \end{array}$$

$$\begin{array}{llll} \text{Substitutions :} & \sigma_1 : & 1 \rightarrow 1 & ; \quad \sigma_2 : \quad 1 \rightarrow 21 \quad \text{et} \quad \sigma_3 : \quad 1 \rightarrow 31 \\ & & 2 \rightarrow 12 & \quad 2 \rightarrow 2 \\ & & 3 \rightarrow 13 & \quad 3 \rightarrow 23 \\ & & & \quad 2 \rightarrow 32 \\ & & & \quad 3 \rightarrow 3. \end{array}$$

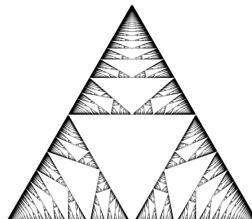
**prop :** Soit  $(s_n) \in \{\sigma_1, \sigma_2, \sigma_3\}^{\mathbb{N}}$  contenant une infinité de chacune des trois substitutions. Soit  $a \in \{1, 2, 3\}$ . La suite  $(s_0 \circ s_1 \circ \dots \circ s_n(a))_{n \in \mathbb{N}}$  converge vers un mot infini  $w \in \{1, 2\}^{\mathbb{N}}$  qui ne dépend pas de  $a$ .

↔ On les appelle **mots d'Arnoux-Rauzy** [standards].

Ex:  $w_{Trib} = 121312112131212131211213121312...$  [mot de "Tribonacci", 1982]

## [dim 2] L'algorithme d'Arnoux-Rauzy

[~1991]

**Contrariété :** $F_{AR}$  n'est pas définie lorsque la somme des petites coordonnées excède la plus grande.**"Baderne de Rauzy"** = ensemble des  $(x, y, z)$ , avec  $x + y + z = 1$  , pour lesquels  $F_{AR}$  peut être itérée indéfiniment.

La baderne de Rauzy

**Prop :** La baderne de Rauzy est de mesure nulle.

[AS13]

**Prop :** Sa dimension de Hausdorff est  $< 2$ .

[AHS16]

## [dim 2] L'algorithme de Cassaigne-Selmer

[~2017]

$$F_C : \begin{array}{ccc} (\mathbb{R}_{\geq 0})^3 & \rightarrow & (\mathbb{R}_{\geq 0})^3 \\ (x, y, z) & \mapsto & \begin{array}{ll} (x - z, z, y) & \text{si } x \geq z, \\ (y, x, z - x) & \text{sinon.} \end{array} \end{array}$$

→  $F_C$  est définie sur tous les triplets !

Cet algorithme engendre la classe des **mots de Cassaigne-Selmer**, à travers les substitutions :

$$c_1 : \begin{array}{ccc} 1 & \mapsto & 1 \\ 2 & \mapsto & 13 \\ 3 & \mapsto & 2 \end{array} \quad \text{et} \quad c_2 : \begin{array}{ccc} 1 & \mapsto & 2 \\ 2 & \mapsto & 13 \\ 3 & \mapsto & 3. \end{array}$$

**Ex:**  $w_{ex} = c_1 \circ c_2 \circ c_1 \circ c_2 \circ c_1 \cdots (1) = 13212131213213121321213213121321\ldots$

## Questions...

**Fait :** Chaque mot d'AR et de CS admet un vecteur fréquence des lettres  $(f_1, f_2, f_3)$ .

1. Que dire de ces vecteurs ?
2. A quelle vitesse le nombre d'occurrences moyen de chaque lettre converge vers sa fréquence attendue – c.a.d géométriquement, comment se comporte la **ligne brisée 3D** associée à un tel mot **par rapport à sa direction moyenne** [la droite portée par  $(f_1, f_2, f_3)$ ] ?

## II. Résultats

## 1. Vecteurs fréquence des lettres

Theorème [Cassaigne, Labb  , Leroy 2017]

Le vecteur fr  quence des lettres de n'importe quel mot de Cassaigne-Selmer a des coordonn  es rationnellement ind  pendantes.

Theor  me [Dyndnikov, Hubert, Skripchenko 21; A. 21]

Le vecteur fr  quence des lettres de n'importe quel mot d'Arnoux-Rauzy a des coordonn  es rationnellement ind  pendantes.

→ conjectur   en 2013 par Arnoux and Starosta.

## (Un beau résultat, plus fort)

### Théorème [A. 21]

Soit  $d \geq d' \geq 1$ . Soit  $w$  un mot épisturmien sur  $\{1, \dots, d\}$ . Notons  $f = (f_1, \dots, f_d)$  son vecteur fréquence des lettres [qui existe], et par  $(s_n)_{n \in \mathbb{N}}$  l'une des suites de substitutions par laquelle il a été obtenu. Les assertions suivantes sont équivalentes.

- ① Exactement  $d'$  substitutions apparaissent infiniment souvent dans  $(s_n)_{n \in \mathbb{N}}$ .
- ② La dimension de l'espace vectoriel  $f_1\mathbb{Q} + \dots + f_d\mathbb{Q}$  est  $d'$ .

\*\* "mot épisturmien sur  $\{1, \dots, d\}$ " = mot engendré par une *composition quelconque* des  $d$  substitutions associées à l'algo d'AR en dimension  $d$ , consistant à soustraire la somme des  $d - 1$  petites composantes à la plus grande...

→ L'algorithme d'Arnoux-Rauzy (généralisé) détecte toutes les dépendances rationnelles !

## 2) Propriétés de leurs lignes brisées ?

**Fractal de Rauzy** = adhérence de la projection de la ligne brisée d'un mot infini, parallèlement à son vecteur fréquence.



Figure: Fractal de Rauzy de  $w_{trib}$

## 2) Propriétés de leurs lignes brisées / fractals de Rauzy ?

**Vieille croyance** : "la ligne brisée de tout mot d'AR reste à distance bornée de sa direction moyenne ; autrement-dit, son fractal de Rauzy est borné."

→ Vrai pour tous les cas connus...

→ **contredite** par la construction d'un exemple remarquable par [Cassaigne, Ferenczi, Zamboni 2000]

→ Toutefois, ces mots "déséquilibrés" sont de mesure nulles. [Delecroix, Hejda, Steiner 2013]

**Question** : Quid pour les mots de CS ?

## 2) Propriétés de leurs lignes brisées / fractals de Rauzy ?

### Théorème [A. 18]

Il existe un mot de Cassaigne-Selmer dont le fractal de Rauzy n'est pas borné.

Aujourd'hui, on ne sait presque rien des propriétés topologiques et géométriques de ces fractals non bornés.

## 2) Propriétés de leurs lignes brisées / fractals de Rauzy ?

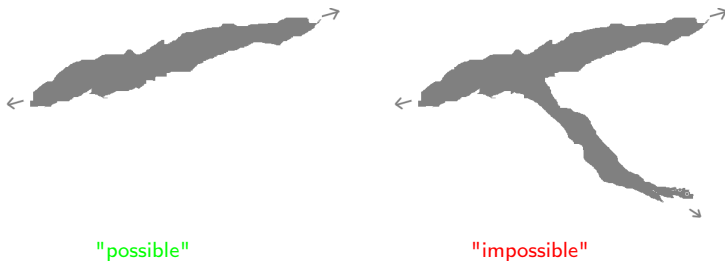
**"Conjecture"** : La ligne brisée de tout mot d'AR reste à distance bornée d'un plan contenant sa direction moyenne ; autrement-dit, son fractal de Rauzy est contenu dans une bande du plan.



→ Intuition suggérée par le **théorème d'Oseledets**. En effet, si les exposants de Lyapounov du produit infini de matrices associé à  $w$  existent, l'un de ces exposants au moins est  $<0$ , puisque qu'il y en a déjà un  $>0$ , et que leur somme doit être égale à 0.

## 2) Propriétés de leurs lignes brisées / fractals de Rauzy ?

**"Conjecture"** : La ligne brisée de tout mot d'AR reste à distance bornée d'un plan contenant sa direction moyenne ; autrement-dit, son fractal de Rauzy est contenu dans une bande du plan.



→ Intuition suggérée par le **théorème d'Oseledets**. En effet, si les exposants de Lyapounov du produit infini de matrices associé à  $w$  existent, l'un de ces exposants au moins est  $<0$ , puisque qu'il y en a déjà un  $>0$ , et que leur somme doit être égale à 0.

**Cette conjecture est fausse.**

### Theorème [A. 21]

Il existe des mots d'AR et de CS dont le fractal de Rauzy n'est contenu dans aucune bande du plan.

→ Nous construisons explicitement des familles de contre exemples.

## Méthode

- **Réduire** le problème dynamique à une question de **combinatoire** (ici : existe-t-il  $w$  de "déséquilibre" infini?)
- Aborder la question de combinatoire avec des **outils d'informatique théorique** (ici : exploration d'un graphe infini)
- Développer une intuition par **l'expérimentation** (ici : exploration ordonnée d'une grande partie du graphe).

### III. Compléments de définitions

## Abélianisation

"L'abélianisé" d'un mot fini  $u$  est le vecteur  $\text{ab}(u) = (|u|_a)_{a \in A}$ , où  $|u|_a$  désigne le nombre de  $a$  dans  $u$ .

Ex:  $\text{ab}(212232) = (1, 4, 1)$

La "matrice d'incidence" d'une substitution  $\sigma$  est  $M_\sigma := (|\sigma(j)|_i)_{i,j \in A}$ .

Ex:  $c_1 : \begin{array}{rcl} 1 & \mapsto & 1 \\ 2 & \mapsto & 13 \\ 3 & \mapsto & 2 \end{array}$  donne  $M_{c_1} = \begin{pmatrix} 1 & 1 & 0 \\ 0 & 0 & 1 \\ 0 & 1 & 0 \end{pmatrix}$

**Prop :** On a toujours  $\text{ab}(\sigma(u)) = M_\sigma \cdot \text{ab}(u)$ .

## Discrépance

Soit  $w \in A^{\mathbb{N}}$ . Nous souhaitons étudier la fonction :

$$\text{discr}_w : n \longmapsto \max_{a \in A} \left| |\text{pref}_n(w)|_a - Nf_a \right|$$

qui mesure la différence maximale entre le nombre d'occurrences d'une lettre dans le préfixe de longueur  $n$  de  $w$ , et sa valeur attendue.

→ Géométriquement, la discrépance mesure la distance entre la ligne brisée et sa direction moyenne.

## Un pendant combinatoire : le déséquilibre

**déséquilibre de  $w$**  :  $\text{imb}(w) := \sup_{n \in \mathbb{N}} \sup_{u, v \in \mathcal{F}_n(w)} \|\text{ab}(u) - \text{ab}(v)\|_\infty \quad \in \mathbb{N} \text{ or } \infty$

\*\*  $\mathcal{F}_n(w)$  = ensemble des facteurs de longueur  $n$  de  $w$ .

→ C'est la *plus petite constante  $D$*  t.q. pour tout  $u, v \in \mathcal{F}_n(w)$  et pour tout  $a \in A$  :

$$|u|_a - |v|_a \leq D.$$

**ex :** Le déséquilibre de n'importe quel mot sturmien est 1.

**Fait :**  $1/4 \text{imb}(w) \leq \sup \text{discr}_w \leq \text{imb}(w)$

[Ada03]

La **ligne brisée** de  $w$  reste à **distance bornée** de sa direction moyenne si et seulement si le **déséquilibre** de  $w$  est **fini**.

## Mots et sous-shifts S-adiques

Soit  $S$  un ensemble *fini* de substitutions sur un même alphabet  $\mathcal{A}$ .

**"mot S-adique"**: un *mot infini* pouvant s'écrire :  $w = \lim_{n \rightarrow \infty} s_0 \circ \dots \circ s_{n-1}(a)$   
avec :    -  $a \in \mathcal{A}$      $\leftarrow$  "graine"  
          -  $(s_n) \in S^{\mathbb{N}}$      $\leftarrow$  "suite directrice"

**ex :** - Les mots sturmiens, d'Arnoux-Rauzy et de Cassaigne-Selmer standards  
- en fait tous les mots fournis par des algos de FC...

**Remarque** : la suite directrice peut être vue comme un **mot infini sur l'alphabet  $S$** ...

## IV. Un semi-algorithme pour explorer l'ensemble des déséquilibres de tous les mots S-adiques\*\*

\*\* où  $S$  est un ensemble fini, arbitraire mais fixé, de substitutions.

## Avant-goût

Etant donné  $S$  un ensemble fini de substitutions, on souhaite répondre aux questions

- ➊ Est-ce que les déséquilibres des mots  $S$ -adiques sont bornés ?
- ➋ Si oui, donner un majorant.
- ➌ Si non, pour  $n$ 'importe quel  $d \in \mathbb{N}$ , exhiber un mot  $S$ -adique dont le déséquilibre est supérieur à  $d$ .

**Notre outil :** "l'automate des déséquilibres" , un graphe orienté infini tel que :

|                    |                         |
|--------------------|-------------------------|
| déséquilibres      | ≈ état finaux           |
| suites directrices | ≈ étiquette des chemins |

## Formellement...

### Theorème [A. 21]

Soit  $S$  un ensemble de substitutions non effaçantes définies sur un même alphabet  $A$ , et supposons que chaque lettre de  $A$  apparaît dans un mot  $S$ -adique (pas forcément le même). Si  $D_S$  désigne la quantité (éventuellement infinie):

$$D_S = \sup_{w \text{ S-adique}} \text{imb}(w),$$

alors un **parcours en largeur** dans "**l'automate des déséquilibres**", depuis ses états initiaux, fournira, pour chaque  $d \leq D_S$ , une suite finie de substitutions  $(\sigma_i)_{i \in \{1, \dots, n\}}$  telle que tout mot  $S$ -adique dont la suite directrice commence par  $(\sigma_i)_{i \in \{1, \dots, n\}}$ , a un déséquilibre plus grand que  $d$ .

→ La question "est-ce qu'il existe un mot  $S$ -adique de déséquilibre plus grand que  $d$  ?" est **semi-décidable**.

→ S'il existe un mot  $S$ -adique de déséquilibre plus grand que  $d$ , le **semi-algorithme va le trouver**. Sinon, il **ne termine pas**.

## Aperçu de l'automate des déséquilibres sur l'exemple de Cassaigne-Selmer

**Sommets :**

$$\begin{pmatrix} a & b \\ c & d \end{pmatrix} \begin{pmatrix} x \\ y \\ z \end{pmatrix}$$

représentant tous les mots finis  $(u, v)$  tels que :

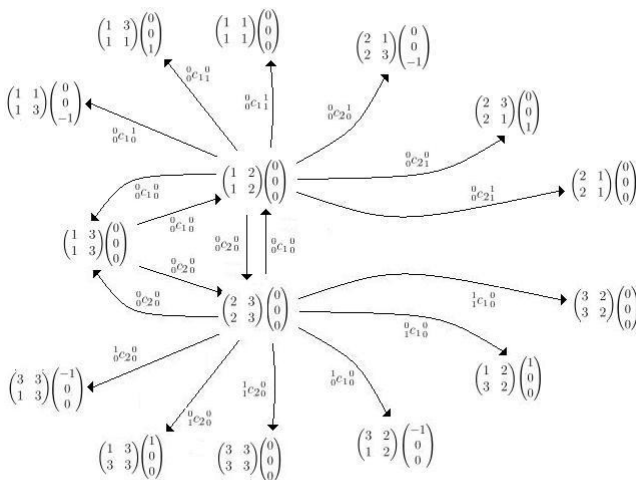
- $u, v$  sont facteurs d'un *même* mot  $S$ -adique ;
- $a$  et  $b$  sont la première et dernière lettre de  $u$  ;
- $c$  et  $d$  sont la première et dernière lettre de  $v$  ;
- $ab(u) - ab(v) = (x, y, z)$ .

**Arcs :**  $X \rightarrow Y$  ssi un/tout couple de facteurs représenté par  $Y$  est obtenu à partir d'un couple de facteurs  $(u, v)$  représenté par  $X$ , en substituant *simultanément*  $u$  et  $v$  par l'une des  $c_i$ , puis en rabotant éventuellement les mots obtenus d'une lettre à droite et/ou d'une lettre à gauche.

**EXEMPLE**

$$\begin{aligned} c_1 : \quad 1 &\mapsto 1 \\ 2 &\mapsto 13 \\ 3 &\mapsto 2 \end{aligned}$$

$$\begin{aligned} c_2 : \quad 1 &\mapsto 2 \\ 2 &\mapsto 13 \\ 3 &\mapsto 3 \end{aligned}$$



Une portion de l'automate des déséquilibres pour les substitutions de Cassaigne-Selmer.

## Propriétés de l'automate des déséquilibres

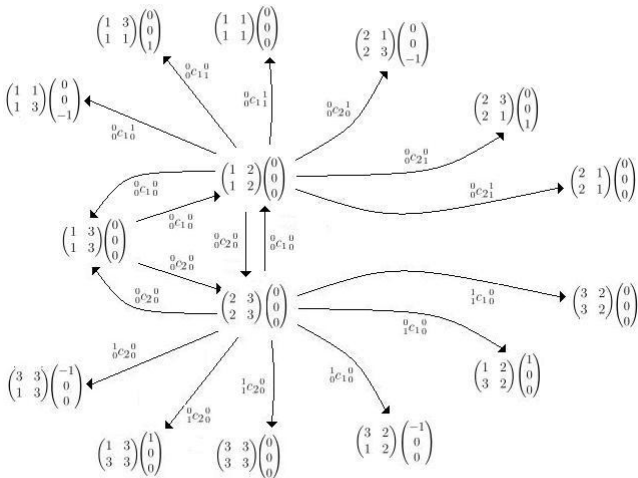
- On peut calculer  $Y$  *directement* à partir de  $X$ ...
- Ce graphe n'est pas connexe.
- Toutefois, tous les sommets sont accessibles à partir d'un ensemble fini, connu, de sommets "initiaux".
- Tout sommet admet un nombre fini (et même borné) d'arêtes sortantes.

→ Bien qu'il soit infini, on peut [commencer à] parcourir ce graphe en largeur...

**Intérêt :** Il existe un mot  $S$ -adique de **déséquilibre plus grand que  $d$**  ssi on peut trouver un sommet  $(M, x)$  t.q. :

- la somme des coordonnées de  $x$  est égale à zéro;
- $\|x\|_\infty \geq d$ .

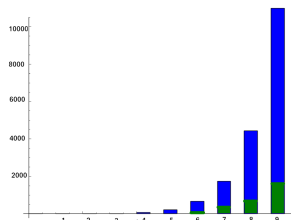
Exemple : donner un minorant du déséquilibre suprémal de la classe des mots de Cassaigne-Selmer...



## Implantation du semi-algorithme pour les substitutions de Cassaigne-Selmer et d'Arnoux-Rauzy

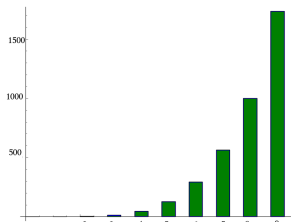
## (Triste) réalité : exemple de Cassaigne-Selmer

Problème : l'arbre croît trop vite !



Nombre de sommets en fonction de la profondeur

Solution : élaguer les branches qui ne conduiront jamais à un nouvel état final



Croissance après élagage

A profondeur 9, parmi 1 500 sommets, apparaît le premier déséquilibre 3...

A profondeur 16, parmi 80 000 sommets, apparaît le premier déséquilibre 4...

Et pourtant, ça a marché...

## And yet, results!

- 1) I managed to find back the families of words constructed in [CFZ00]!
- 2) I spotted families of words with growing imbalances for Cassaigne-Selmer words as well:

From any CS word  $w_0$ , construct:

$$\begin{cases} w_{n+1} = c_1^{2n+2} \circ c_2(w_n) & \text{if } n \text{ is odd} \\ w_{n+1} = c_2^{2n+2} \circ c_1(w_n) & \text{otherwise.} \end{cases}$$

**Lemma 2:** For all  $n$ ,  $w_n$  is a CS word satisfying  $\text{imb}(w_n) \geq n$ .

### Theorem (A. 18)

*There exists a Cassaigne-Selmer word  $w_\infty$  with infinite imbalance.*

→  $w_\infty$  is constructed from  $(w_n)_n$  by a **pumping method** which relies on:

**Lemma 3:** If  $w$  is a CS word s.t.  $\text{imb}(w) \geq 3n$ , then  $w' := c_1(w)$  (resp.  $c_2(w)$ ) is a CS satisfying  $\text{imb}(w') \geq n$ .

## And unexpected results!

**Lemma 4:** For any  $(a, b, c) \in \mathbb{Z}^3$ , there exists  $s \in (S_{AR})^*$  and there exist  $u, v \in \mathcal{F}(s(1))$  that satisfy  $ab(u) - ab(v) = (a, b, c)$ .

**Rk:**  $s$  can be explicitly described.

### Theorem (A. 20)

*There exists an Arnoux-Rauzy word  $w_{\infty\infty}$  whose stepped line is not trapped between two parallel planes - or, equivalently, whose Rauzy fractal is not trapped between two parallel lines.*

→  $w_{\infty\infty}$  is constructed from Lemma 4 by a **pumping method** which relies on the **invertibility of incidences matrices** of AR substitutions.

Merci !